

Die erhaltenen Beziehungen sind mit den Ausdrücken (41) und (42) zu vergleichen. Aus (41) und (42) ergeben sich nach dem Ausquadrieren und mit (34) Beziehungen, die mit den Ausdrücken (126) und (127) übereinstimmen, mit dem Unterschied, daß  $\eta$  an Stelle von  $\eta_0$  steht. Nun stimmt  $\eta$  mit  $\eta_0$  bis auf Glieder von der vernachlässigten Größe  $(J_{kl}/\hbar \omega_k)^2$  überein, indem Gl. (118) gemäß

$$\eta_0^2 = \eta^2 + (2 J_{kl}/[\hbar(\omega_k + \omega_l)])^2 \quad (128)$$

umgeformt werden kann. Die in Abschn. 3 erhaltenen Ausdrücke stimmen also bei Weglassung der Glieder, welche proportional  $(J_{kl}/\hbar \omega_k)^2$  sind, mit den Beziehungen überein, die bei Berücksichtigung der doppelt angeregten Konfigurationen erhalten werden. Dagegen

gehen die Beziehungen (122) und (123), die bei Vernachlässigung der doppelt angeregten Konfigurationen erhalten wurden, nur dann in die Ausdrücke (126) und (127) über, wenn auch die Glieder, die proportional  $(J_{kl}/\hbar \omega_k)$  sind, neben 1 vernachlässigt werden. Das sind die letzten Summanden in den großen runden Klammern von (122) – (123), die von der Größenordnung  $[(\omega_l - \omega_k)/\omega_k] \eta_0$ , also nach (118) von der Größenordnung  $2 J_{kl}/(\hbar \omega_k)$  sind. Es sei erwähnt, daß die exakten Ausdrücke (126), (127) oder (41), (42) durch die Beziehung  $f_{xI} + f_{xII} = f_{xk} + f_{xl}$  verknüpft sind und damit der Bedingung genügen, daß die Summe der Oszillatorenstärken durch die Wechselwirkung nicht beeinflußt wird, daß jedoch diese Bedingung von den Beziehungen (122), (123) nicht erfüllt wird.

## Analogiebetrachtungen und Analogrechner zur Behandlung der Korrelation von $\pi$ -Elektronen

### II. Analogrechner aus elektrischen Schwingkreisen

Von F. F. SEELIG, W. HUBER und H. KUHN

Aus dem Physikalisch-Chemischen Institut der Universität Marburg/Lahn  
(Z. Naturforsch. 17 a, 114–121 [1962]; eingegangen am 10. November 1961)

Es wird ein Analogrechner beschrieben, mit dem die Leistung ermittelt werden kann, die von einem System gekoppelter klassischer Oszillatoren unter der Wirkung einer periodischen äußeren Kraft verbraucht wird. Der Rechner besteht aus einem System gekoppelter elektrischer Schwingkreise, die von einer Wechselspannung erregt werden. Nach Teil I ist das betrachtete klassische Problem analog zu dem quantenmechanischen Problem der Ermittlung der Lagen und Oszillatorenstärken der Absorptionsbanden von Molekülen. Somit gestattet der Rechner die Lösung der erwähnten quantenmechanischen Aufgabe.

In Teil I<sup>1</sup> führte die quantenmechanische Behandlung der Lichtabsorption von Molekülen \* auf dasselbe System von Differentialgleichungen, welches das Verhalten gekoppelter klassischer Oszillatoren unter der Wirkung einer periodisch veränderlichen äußeren Kraft beschreibt. Die von einem solchen System im Mittel verbrauchte Leistung  $W$  kann der vom entsprechenden Molekül im Mittel absorbierten Leistung gleichgesetzt werden. Hat man die Größe  $W/\mathcal{E}_0^2$  ( $\mathcal{E}_0$  Amplitude des elektrischen Vektors des Lichts) in Abhängigkeit von der Frequenz  $\nu$  der Erregung bestimmt, so ist nach Teil I, Gl. (30) der molare Extinktionskoeffizient  $\varepsilon$  der Moleküle in Abhängigkeit von  $\nu$  gegeben. Die numerische Ermittlung der Leistung  $W$  ist im Falle mehrerer gekoppelter Oszillatoren sehr mühsam. Man wird daher nach einem geeigneten Analogrechner zur Lösung

des Problems suchen. Die Verwendung eines Systems mechanischer Oszillatoren als Analogrechner ist aus Gründen der Meßgenauigkeit nachteilig. Es wurde daher ein Analogrechner aus elektrischen Schwingkreisen gebaut, der im folgenden beschrieben wird. Der Rechner beruht auf der bekannten Analogie zwischen mechanischen und elektrischen Schwingssystemen. Anordnungen, die auf ähnlichen Prinzipien beruhen, jedoch nur die Untersuchung der Eigenschwingungen gekoppelter Systeme erlauben, sind bereits beschrieben worden<sup>2,3</sup>. Der hier betrachtete Rechner simuliert im Gegensatz zu jenen Anordnungen das Verhalten eines Systems gekoppelter Oszillatoren bei Einwirken bestimmter äußerer Kräfte. Man ermittelt die vom Rechner aufgenommene Leistung  $W_e$ , aus der sich die gesuchte Leistung  $W$  ergibt.

<sup>1</sup> W. HUBER, G. SIMON u. H. KUHN, Z. Naturforsch. 17 a, 99 [1962], voranstehend.

\* bei Berücksichtigung der Elektronenkorrelation.

<sup>2</sup> A. MANY u. S. MEIBOOM, Rev. Sci. Instrum. 18, 831 [1947].

<sup>3</sup> H. HARTMANN u. W. STÜRMER, Z. Naturforsch. 5 a, 99 [1950].



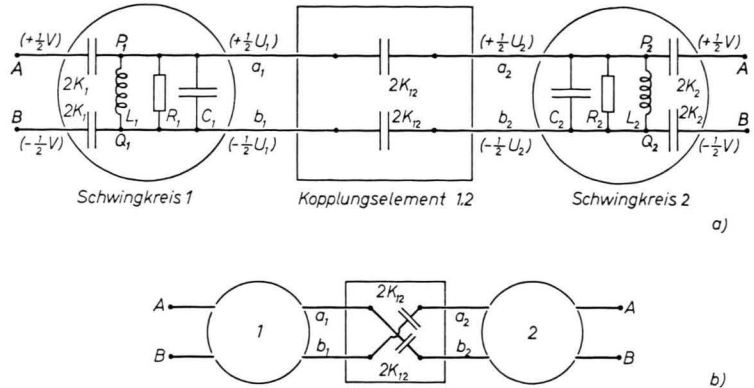


Abb. 1. Prinzip-Schaltbild des Analogrechners für zwei Oszillatoren. a) Schaltung I ( $\zeta_{12} < 0$ ), b) Schaltung II ( $\zeta_{12} > 0$ ) (Schwingkreis 1 und 2 schematisch).

## 1. Prinzip

Es seien zunächst nur zwei Oszillatoren 1 und 2 betrachtet. Im mechanischen Fall gelten die Beziehungen

$$\mu_1 \left( \frac{d^2 \xi_1}{dt^2} \right) + \varrho_1 \left( \frac{d\xi_1}{dt} \right) + \zeta_1 \xi_1 + \zeta_{12} \xi_2 = \mathfrak{E}_0 e \alpha_1 \sin \omega t, \quad (1)$$

$$\mu_2 \left( \frac{d^2 \xi_2}{dt^2} \right) + \varrho_2 \left( \frac{d\xi_2}{dt} \right) + \zeta_2 \xi_2 + \zeta_{12} \xi_1 = \mathfrak{E}_0 e \alpha_2 \sin \omega t. \quad (2)$$

$\mu_1$  und  $\mu_2$  sind die Massen,  $\zeta_1$  und  $\zeta_2$  die Kraftkonstanten und  $\varrho_1$  und  $\varrho_2$  die Reibungskonstanten der beiden Oszillatoren.  $\zeta_{12}$  ist der Kopplungskoeffizient.  $\mathfrak{E}_0 e \alpha_1 \sin \omega t$  bzw.  $\mathfrak{E}_0 e \alpha_2 \sin \omega t$  stellt die am Oszil-

lator 1 bzw. 2 angreifende Kraft dar.  $\xi_1$  und  $\xi_2$  sind die Auslenkungen der Oszillatoren aus ihren Gleichgewichtslagen.

Abb. 1 zeigt das Schaltbild des verwendeten Analogrechners<sup>4</sup>. Die bei den Schaltelementen stehenden Symbole geben die Einstellwerte an; beispielsweise ist  $2K_2$  die Kapazität des so bezeichneten Kondensators. Die Schaltung I bzw. II wird verwendet, wenn der Kopplungskoeffizient  $\zeta_{12}$  negativ bzw. positiv ist. Wie in Anhang I gezeigt wird, gilt für die elektrische Anordnung bei Anlegen einer Spannung  $V_0 \sin \omega_e t_e$  der Amplitude  $V_0$  und der Kreisfrequenz  $\omega_e$  zwischen den Punkten A und B im Fall von Schaltung I

$$(C_1 + K_1 + K_{12}) \frac{d^2 U_1}{dt_e^2} + \frac{1}{R_1} \frac{dU_1}{dt_e} + \frac{1}{L_1} U_1 - K_{12} \frac{d^2 U_2}{dt_e^2} = -\omega_e^2 K_1 V_0 \sin \omega_e t_e, \quad (3)$$

$$(C_2 + K_2 + K_{12}) \frac{d^2 U_2}{dt_e^2} + \frac{1}{R_2} \frac{dU_2}{dt_e} + \frac{1}{L_2} U_2 - K_{12} \frac{d^2 U_1}{dt_e^2} = -\omega_e^2 K_2 V_0 \sin \omega_e t_e. \quad (4)$$

$t_e$  ist die Zeit und  $U_1$  bzw.  $U_2$  die Spannung zwischen den Punkten  $P_1$  und  $Q_1$  bzw.  $P_2$  und  $Q_2$ . Im Fall von Schaltung II ist in (3) und (4) und in den folgenden Beziehungen (5), (6), (11), (12), (16) das fett dargestellte Vorzeichen durch das entgegengesetzte Vorzeichen zu ersetzen. Im stationären Fall kann

$$U_1 = U_{10} \sin(\omega_e t_e + \delta_1), \quad U_2 = U_{20} \sin(\omega_e t_e + \delta_2)$$

und damit  $U_1 = -(1/\omega_e^2) (d^2 U_1 / dt_e^2)$ ,  $U_2 = -(1/\omega_e^2) (d^2 U_2 / dt_e^2)$  gesetzt werden.

Es folgt dann aus (3)

$$(C_1 + K_1 + K_{12}) (-\omega_e^2 U_1) + \frac{1}{R_1} \frac{dU_1}{dt_e} + \frac{1}{L_1} \left( -\frac{1}{\omega_e^2} \frac{d^2 U_1}{dt_e^2} \right) - K_{12} (-\omega_e^2 U_2) = -\omega_e^2 K_1 V_0 \sin \omega_e t_e \quad (5)$$

und nach Umordnung und Division durch  $\omega_e^2$ :

$$-\frac{1}{\omega_e^4 L_1} \frac{d^2 U_1}{dt_e^2} + \frac{1}{\omega_e^2 R_1} \frac{dU_1}{dt_e} - (C_1 + K_1 + K_{12}) U_1 + K_{12} U_2 = -K_1 V_0 \sin \omega_e t_e. \quad (6)$$

<sup>4</sup> Die Analogie mit dem mechanischen System wird auch erreicht, indem man  $K_1$ ,  $K_2$  und  $K_{12}$  durch Induktivitäten

ersetzt; diese sind aber aus technischen Gründen unvorteilhaft.

Um die Gleichungen für das elektrische System in die eigentlich interessierenden Gleichungen für das mechanische System zu überführen, wird gesetzt:

$$U_1 = -\tau \xi_1, \quad (7) \quad U_2 = -\tau \xi_2, \quad (8) \quad t_e = -\beta t, \quad (9) \quad V_0 = \gamma \mathfrak{E}_0, \quad (10)$$

wobei  $\tau, \beta, \gamma$  zunächst frei wählbare Parameter sind. Der Grund, warum die Parameter  $\tau$  und  $\beta$  so definiert werden, daß in den Beziehungen (7), (8) und (9) negatives Vorzeichen auftritt, wird unten ersichtlich. Durch Einführen von (7) bis (10) in (6) folgt:

$$\frac{1}{\omega_e^4 L_1} \frac{\tau}{\beta^2} \frac{d^2 \xi_1}{dt^2} + \frac{1}{\omega_e^2 R_1} \frac{\tau}{\beta} \frac{d \xi_1}{dt} + (C_1 + K_1 + K_{12}) \tau \xi_1 - K_{12} \tau \xi_2 = K_1 \gamma \mathfrak{E}_0 \sin(\omega_e \beta t). \quad (11)$$

Entsprechend ist

$$\frac{1}{\omega_e^4 L_2} \frac{\tau}{\beta^2} \frac{d^2 \xi_2}{dt^2} + \frac{1}{\omega_e^2 R_2} \frac{\tau}{\beta} \frac{d \xi_2}{dt} + (C_2 + K_2 + K_{12}) \tau \xi_2 - K_{12} \tau \xi_1 = K_2 \gamma \mathfrak{E}_0 \sin(\omega_e \beta t), \quad (12)$$

d. h. die für die elektrische Anordnung geltenden Beziehungen (11) und (12) stimmen mit den für die mechanische Anordnung geltenden Ausdrücken (1) und (2) überein, falls gesetzt wird:

$$\mu_k = (1/[\omega_e^4 L_k]) (\tau/\beta^2), \quad (13)$$

$$\varrho_k = (1/[\omega_e^2 R_k]) (\tau/\beta), \quad (14)$$

$$\varkappa_k = (C_k + K_k + K_{12}) \tau, \quad (15)$$

$$\varkappa_{12} = -K_{12} \tau, \quad (16)$$

$$e \alpha_k = K_k \gamma, \quad (17)$$

$$\omega = \omega_e \beta \quad (18)$$

mit  $k = 1; 2$ .

Da Induktivitäten, Widerstände und Kapazitäten nur positive Werte annehmen können und andererseits  $\mu_k, \varrho_k$  und  $\varkappa_k$  positiv sind, folgt aus (13) bis (15), daß  $\tau$  und  $\beta$  auch positiv sein müssen. Führt man die Größe

$$\sigma = \omega_e \omega \quad (19)$$

ein, so gehen die Gln. (13) und (14) mit (18) über in die Beziehungen

$$\mu_k = (\tau/\sigma^2) (1/L_k), \quad (20)$$

$$\varrho_k = (\tau/\sigma) (1/R_k). \quad (21)$$

Wenn  $\tau, \gamma$  und  $\sigma$  als frequenzunabhängige Parameter definiert werden, sind, da  $\mu_k, \varrho_k, \varkappa_k, \varkappa_{12}, e, \alpha_k$  frequenzunabhängig sind, auch  $L_k, R_k, C_k, K_{12}, K_k$  bei allen Frequenzen gleich, was ein technischer Vorteil ist. Da es nur positive Kapazitäten gibt,  $\varkappa_{12}$  aber auch negativ sein kann, ist im Falle  $\varkappa_{12} < 0$  die Schaltung I (Abb. 1) anzuwenden, im Fall  $\varkappa_{12} > 0$  dagegen die Schaltung II, für die das fette Minuszeichen in (16) durch ein Pluszeichen zu ersetzen ist. Löst man die Gln. (15) bis (21) nach

den Einstellgrößen des Analogrechners auf, so folgt für beide Schaltungen

$$L_k = (\tau/\sigma^2) (1/\mu_k), \quad (22)$$

$$R_k = (\tau/\sigma) (1/\varrho_k), \quad (23)$$

$$K_k = (1/\gamma) e \alpha_k, \quad (24)$$

$$K_{12} = (1/\tau) |\varkappa_{12}|, \quad (25)$$

$$C_k = (1/\tau) (\varkappa_k - |\varkappa_{12}|) - (1/\gamma) e \alpha_k. \quad (26)$$

Im mechanischen Fall ist die im Mittel verbrauchte Leistung  $W$  gesucht, die gegeben ist durch die Beziehung

$$W = \varrho_1 \overline{(d\xi_1/dt)^2} + \varrho_2 \overline{(d\xi_2/dt)^2}. \quad (27)$$

Im elektrischen Fall kann die im System verbrauchte Leistung leicht gemessen werden. Sie ist

$$W_e = \overline{U_1^2}/R_1 + \overline{U_2^2}/R_2. \quad (28)$$

Um die gesuchte Größe  $W$  durch die meßbare Größe  $W_e$  auszudrücken, werden die Beziehungen (7) bis (9), (18), (19) und (21) in (27) eingesetzt. Es folgt

$$W = \frac{\sigma}{\tau} \frac{1}{\omega_e^4} \frac{1}{R_1} \overline{\left( \frac{dU_1}{dt_e} \right)^2} + \frac{\sigma}{\tau} \frac{1}{\omega_e^4} \frac{1}{R_2} \overline{\left( \frac{dU_2}{dt_e} \right)^2}.$$

Da aber  $(dU_k/dt_e)^2 = \omega_e^2 \overline{U_k^2} = \frac{1}{2} \omega_e^2 \overline{U_k^2}$

wegen  $U_k = U_{k0} \sin(\omega_e t_e + \delta_k)$ ,

$$dU_k/dt_e = \omega_e U_{k0} \cos(\omega_e t_e + \delta_k)$$

und  $\overline{\sin^2 x} = \overline{\cos^2 x} = \frac{1}{2}$ , gilt

$$W = \frac{1}{2} \frac{\sigma}{\tau} \frac{1}{\omega_e^2} \left( \frac{1}{R_1} \overline{U_{10}^2} + \frac{1}{R_2} \overline{U_{20}^2} \right) = \frac{\sigma}{\tau} \frac{1}{\omega_e^2} W_e \quad (29)$$

und somit ist

$$W/\mathfrak{E}_0^2 = (\sigma/\tau) (\gamma^2/\omega_e^2) (W_e/V_0^2). \quad (30)$$

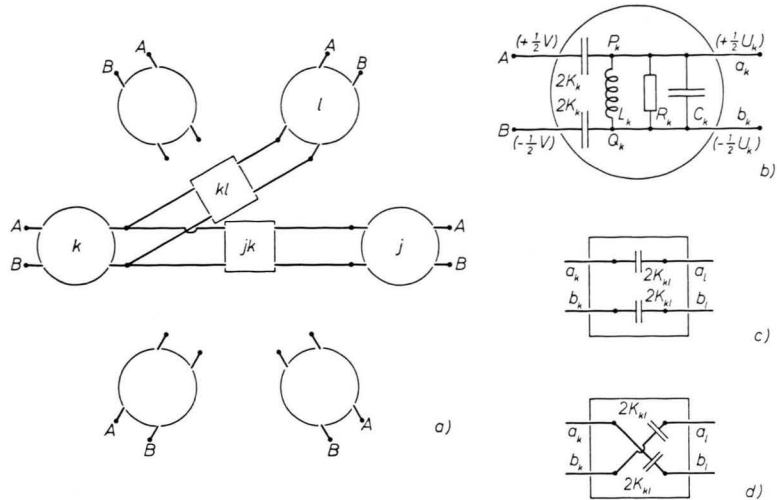


Abb. 2. Prinzip-Schaltbild des Analogrechners für  $n$  Oszillatoren. Jeder Schwingkreis ist mit jedem anderen zu koppeln. a) Blockschaltbild für  $n=6$ . Nur die Kopplung des willkürlich herausgegriffenen Kreises  $k$  mit den Kreisen  $j$  und  $l$  ist angegeben. b) Schwingkreis  $k$ , c) Kopplungselement  $kl$ ; Schaltung I ( $\zeta_{kl} < 0$ ), d) Kopplungselement  $kl$ ; Schaltung II ( $\zeta_{kl} > 0$ ).

Wegen (19) ist die erregende Frequenz  $\nu = \omega/2\pi$  mit  $\omega_e$  verknüpft durch die Beziehung

$$\nu = \sigma/(2\pi\omega_e). \quad (31)$$

Nach Festlegung der Einstellgrößen der Schaltelemente gemäß (22) bis (26) kann mit (30) und (31) aus einer Messung von  $W_e/V_0^2$  in Abhängigkeit von  $\omega_e$  die gesuchte Größe  $W/\xi_0^2$  in Abhängigkeit von  $\nu$  angegeben werden.

Die Betrachtung lässt sich leicht auf ein System beliebig vieler gekoppelter Oszillatoren übertragen. In diesem Fall ist die Anordnung gemäß Abb. 2 zu grunde zu legen. Ist der Kopplungskoeffizient  $\zeta_{kl}$  zwischen zwei herausgegriffenen mechanischen Oszillatoren  $k$  und  $l$  positiv (bzw. negativ), so sind die entsprechenden elektrischen Schwingkreise wiederum mit Schaltung II (Abb. 1 und Abb. 2) (bzw. Schaltung I) zu verknüpfen. Wie in Anhang II näher gezeigt wird, ist die Analogie mit dem System gekoppelter mechanischer Oszillatoren gegeben, falls die Einstelldaten wiederum gemäß (22) bis (24) festgelegt werden und analog zu (25) und (26) gesetzt wird:

$$K_{kl} = (1/\tau)|\zeta_{kl}|, \quad (32)$$

$$C_k = (1/\tau) \left( \zeta_k - \sum_{l \neq k} |\zeta_{kl}| \right) - (1/\gamma) e \alpha_k. \quad (33)$$

Die Summe erstreckt sich von  $l=1$  bis  $l=n$ ;  $n$  ist die Zahl der Oszillatoren. Auch in diesem Fall sind die mittleren Leistungen im mechanischen und elektrischen Fall durch (30) und die zugehörigen Frequenzen durch (31) verknüpft.

\*  $\zeta_{kl} = \zeta_{lk}$ .

## 2. Technische Ausführung

An einer geerdeten Grundplatte aus Aluminiumblech sind die Anschlußbuchsen für die Schaltelemente, die alle auswechselbar sind, angebracht (Abb. 3). Die Anordnung ist für 10 Schwingkreise vorgesehen. Die Zuleitungen zu den Kopplungskondensatoren sind nach

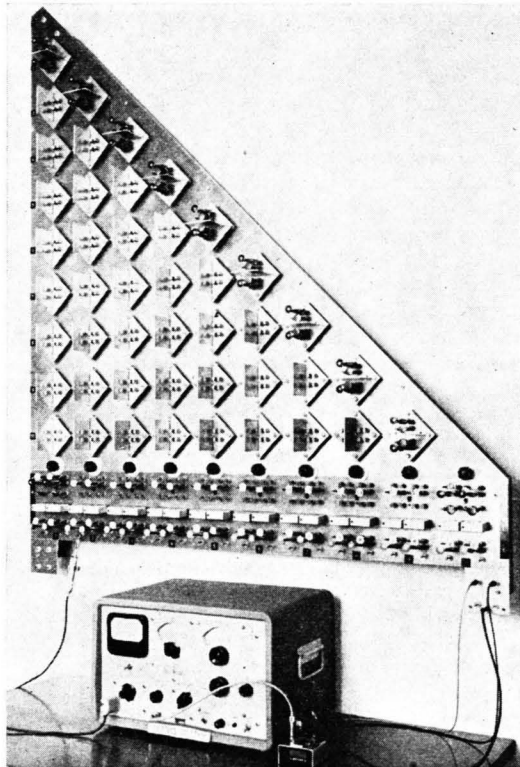


Abb. 3. Analogrechner für  $n=10$  Oszillatoren, eingestellt für das Beispiel von Abschn. 3 b.

Art eines Kreuzschieneverteilers so geführt, daß jeder Schwingkreis mit jedem anderen in einfacher Weise gekoppelt werden kann. Alle Leitungen sind abgeschirmt, um zusätzliche Kopplungen zu vermeiden.

Anregung und Spannungsmessung: Die erregende Wechselspannung, die möglichst rein sinusförmig sein soll, wird dem Wave Analyzer Modell 302 A der Firma Hewlett-Packard, Palo Alto, Calif., entnommen über einen Transistor, dessen Sekundärseite in der Mitte geerdet ist. Die Effektivspannung beträgt 0,2 Volt. Die Frequenzzeichnung erfolgt mit dem Hewlett-Packard Electronic Counter 524 C. Die Messung der Spannungen  $V_0$  und  $U_{k0}$  erfolgt ebenfalls mit dem erwähnten Wave Analyzer, der mit einem auf die Anregungsfrequenz abgestimmten selektiven Voltmeter ausgestattet ist und daher praktisch störungsfrei zu messen erlaubt.

Schwingkreise: Da Eingang des Voltmeters und Spulen aus Abschirmgründen einseitig geerdet sind, müssen die Schwingkreise symmetrisch gegen Erde geschaltet werden, d. h. die Schaltelemente, die die Schwingkreise bilden, sind durch je zwei unter sich gleiche hintereinandergeschaltete Elemente so zu ersetzen, daß die Reihenschaltung den Wert der ursprünglichen Einstellgröße ergibt, und die Punkte dazwischen zu erden. Es ist zu berücksichtigen, daß neben den tatsächlich gesteckten Kapazitäten der Schwingkreise auch die Kapazitäten der Zuleitungen zu den Kopplungskondensatoren und der Spulen einen Beitrag zu den Kapazitäten  $C_k$  (Abb. 2) liefern. Da diese Zuleitungen bei jedem Schwingkreis gleich lang sind und alle Spulenkapazitäten durch Trimmer auf denselben Wert gebracht sind, liefern diese zusätzlichen Kapazitäten einen konstanten Beitrag (236,5 pF). Damit jeder Schwingkreis mit jedem anderen nach Schaltung I oder II gekoppelt werden kann, werden im Anschluß an MANY und MAIBOOM<sup>2</sup> die Kopplungskondensatoren, die zwei herausgegriffene Schwingkreise verbinden, auf eine quadratische Platte gesteckt, die ihrerseits auf die Grundplatte in quadratisch angeordnete Buchsen gesteckt wird. Durch Drehen der Steckplatte um 90° und erneutes Einstecken kann von Schaltung I auf Schaltung II übergegangen werden.

Schaltelemente: Alle Kapazitäten werden durch je zwei parallel geschaltete Stekkondensatoren zur Grobeinstellung (Stufen von 250 pF) und Feineinstellung (100 Stufen von 2,5 pF) realisiert. Es werden Glimmerkondensatoren der Firma R. Jahre, Berlin, verwendet (Güte  $Q > 10^3$ ). Als Widerstände werden Kohlen-schichtwiderstände benutzt. In jedem Schwingkreis ist dem Einstellwiderstand ein Drehwiderstand („Esa“, 2 MΩ, 2 W, Firma Preh, Bad Neustadt/Saale) zur Feineinstellung parallel geschaltet. Da nach Teil I alle Massen  $\mu_k$  als gleich groß angesehen werden und diese Massen nach Gl. (22) mit den Induktivitäten  $L_k$  verknüpft sind, werden gleiche Spulen (Induktivität 12,00 mH und Güte  $Q = 300$  bei 50 kHz bis  $Q = 180$  bei 14 kHz) verwendet. Sie haben einen Schalenkern aus Ferrox cube III B 2 und ca. 200 Windungen Hochfrequenzlitze (10 · 0,07 mm) und stecken in einem Aluminiumgehäuse. Dieses und das eine Ende der Litze sind geerdet. Eine Spule ist bei der Kreisfrequenz  $\omega$  praktisch gleichwertig mit einer Induktivität  $L$  und einem

Parallelwiderstand  $R_p = \omega L Q$ <sup>5</sup>. Dem frequenzabhängigen Widerstand  $R_p$  der Spule jedes Schwingkreises ist Rechnung zu tragen, indem man den Einstellwert des Widerstandes eines herausgegriffenen Schwingkreises (gesteckter Widerstand  $R_{ks}$  und eingestellter Wert  $R_d$  am Drehwiderstand) so wählt, daß diese zusammen mit  $R_p$  den Widerstand  $R_k$  ergeben. Es ist daher am Drehwiderstand bei jeder Anregungsfrequenz ein etwas anderer Wert  $R_d$  einzustellen, so daß stets

$$\frac{1}{R_d} = \frac{1}{R_k} - \left( \frac{1}{R_{ks}} + \frac{1}{\omega L Q} \right)$$

ist. Die elektrische Leistung wird nicht direkt, sondern nach (28) durch Messung der Spannungssummen  $U_{k0}$  bzw.  $U_{k\text{eff}} = (U_k)^{1/2} = (1/2) U_{k0}$  erhalten.

Es ist dann

$$W_e = \sum_{k=1}^n (U_{k\text{eff}})^2 / R_k .$$

### 3. Meßergebnisse

#### a) Beispiele für zwei gekoppelte Oszillatoren

Es sei

$$\begin{aligned} z_1 &= 5,192 \cdot 10^3 \text{ g sec}^{-2}; & z_2 &= 23,24 \cdot 10^3 \text{ g sec}^{-2}; \\ z_{12} &= 0,9189 \cdot 10^3 \text{ g sec}^{-2}; \\ e &= 4,806 \cdot 10^{-10} \text{ g}^{1/2} \text{ cm}^{3/2} \text{ sec}^{-1}; \\ z_1 &= 1,284; & z_2 &= 1,491; & \mu &= 0,9107 \cdot 10^{-27} \text{ g}. \end{aligned}$$

Wird ferner

$$\varrho_1 = 1,697 \cdot 10^{-13} \text{ g/sec} \text{ und } \varrho_2 = 1,570 \cdot 10^{-13} \text{ g/sec}$$

gesetzt und werden die Werte  $\sigma = 5,00 \cdot 10^{20} \text{ sec}^{-2}$ ;  $\tau = 5,465 \cdot 10^{12} \text{ Volt g Amp}^{-1} \text{ sec}^{-3}$  und  $\gamma = 1,125 \text{ Volt g}^{1/2} \text{ cm}^{3/2} \text{ Amp}^{-1} \text{ sec}^{-2}$  zugrunde gelegt, so ergeben sich nach (22) bis (26) für die Einstellgrößen die Beträge  $K_1 = 548,5 \text{ pF}$ ;  $K_2 = 637,0 \text{ pF}$ ;  $K_{12} = 168,1 \text{ pF}$ ;  $C_1 = 233,4 \text{ pF}$ ;  $C_2 = 3447 \text{ pF}$ ;  $R_1 = 64,4 \text{ k}\Omega$ ;  $R_2 = 69,6 \text{ k}\Omega$ ;  $L_1 = L_2 = 24,00 \text{ mH}$ . Durch Messung von  $W_e$  in Abhängigkeit von  $\omega_e$  ergibt sich nach (30) und (31) die in Abb. 4 (ausgezogene Kurve) angedeutete Abhängigkeit der Größe  $W/\mathfrak{E}_0^2$  von  $v$ .

Von besonderem Interesse sind nach Teil I, Gl. (46), (47) die Größen

$$\int_{\text{Bande I}} (W/\mathfrak{E}_0^2) dv \quad \text{und} \quad \int_{\text{Bande II}} (W/\mathfrak{E}_0^2) dv ,$$

die von  $\varrho_1$  und  $\varrho_2$  unabhängig sind. Das kann experimentell leicht nachgewiesen werden, indem an Stelle des oben erwähnten Wertes von  $\varrho_1$  und  $\varrho_2$

<sup>5</sup> C. RINT, Handbuch für Hochfrequenz- u. Elektrotechniker, Verlag für Radio-Foto-Kino-Technik, Berlin 1952, Bd. I, S. 143.

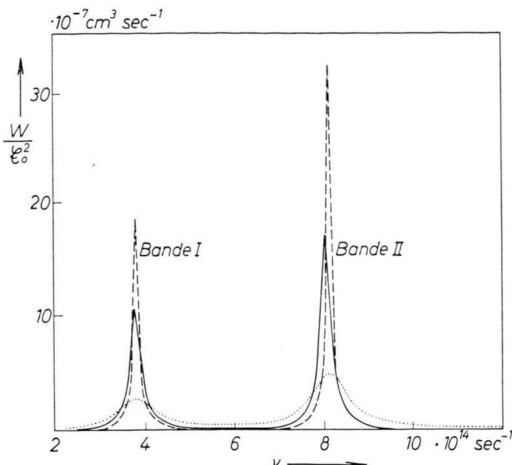


Abb. 4. Zwei gekoppelte Oszillatoren. Ordinate:  $W/\mathfrak{E}_0^2$  ( $W$  von den beiden Oszillatoren dissipierte Leistung,  $\mathfrak{E}_0$  Amplitude des elektrischen Vektors des erregenden Lichts). Abszisse:  $\nu$  (Frequenz des erregenden Lichts). Ausgezogene Kurve:  $\varrho_1 = 1,697 \cdot 10^{-13} \text{ g sec}^{-1}$ ;  $\varrho_2 = 1,570 \cdot 10^{-13} \text{ g sec}^{-1}$ . Punktierter Kurve: 3,7-fache Werte von  $\varrho_1$  und  $\varrho_2$ . Gestrichelte Kurve: 0,46-fache Werte von  $\varrho_1$  und  $\varrho_2$ .  $W/\mathfrak{E}_0^2$  (in Abhängigkeit von  $\nu$ ) ergibt sich aus  $W_e/V_0^2$  (in Abhängigkeit von  $\nu_e$ ).  $W_e$  ist die dissipierte Leistung im Analogrechner;  $V_0$  ist die Amplitude und  $\nu_e$  die Frequenz der angelegten Wechselspannung.

der 3,7-fache bzw. 0,46-fache Wert zugrunde gelegt wird. Es ergibt sich die in Abb. 4 punktierte bzw. gestrichelte Kurve. Die von jeder dieser Kurven mit der Abszisse im Bereich der Bande I bzw. II eingeschlossene Fläche ist konstant (Meßfehler von  $\pm 4\%$ ) und es ist, unabhängig von  $\varrho_1$  und  $\varrho_2$ ,

$$\int_{\text{Bande I}} (W/\mathfrak{E}_0^2) d\nu = 4,6 \cdot 10^7 (\text{cm}^3 \text{ sec}^{-2}),$$

$$\int_{\text{Bande II}} (W/\mathfrak{E}_0^2) d\nu = 7,5 \cdot 10^7 (\text{cm}^3 \text{ sec}^{-2}).$$

Die gewählten Werte von  $\alpha_1$ ,  $\alpha_2$ ,  $\alpha_{12}$ ,  $\alpha_1$ ,  $\alpha_2$  wurden einer vorangehenden Arbeit<sup>6</sup> entnommen und beziehen sich auf die Längsbanden von Bakteriochlorophyll. Aus den erhaltenen Werten von

$$\int_{\text{Bande I}} (W/\mathfrak{E}_0^2) d\nu \quad \text{und} \quad \int_{\text{Bande II}} (W/\mathfrak{E}_0^2) d\nu$$

ergeben sich mit Teil I, Gl. (47), für die Oszillatorenstärke die Werte  $f_I = 0,48$ ;  $f_{II} = 0,79$  und aus den Lagen der Maxima von  $W/\mathfrak{E}_0^2$  folgen für die Absorptionsmaxima die Werte  $\nu_I = 3,8 \cdot 10^{14} \text{ sec}^{-1}$ ;  $\nu_{II} = 8,0 \cdot 10^{14} \text{ sec}^{-1}$ . Praktisch dieselben Werte ( $f_I = 0,48$ ;  $f_{II} = 0,80$ ;  $\nu_I = 3,78 \cdot 10^{14} \text{ sec}^{-1}$ ;  $\nu_{II} = 8,05 \cdot 10^{14} \text{ sec}^{-1}$ ) wurden in der erwähnten Arbeit auf numerischem Wege erhalten.

Entsprechend ergeben sich für die Querbanden von Bakteriochlorophyll mit dem Analogrechner die Werte  $f_I = 0,23$ ;  $f_{II} = 0,62$ ;  $\nu_I = 3,9 \cdot 10^{14} \text{ sec}^{-1}$ ,  $\nu_{II} = 7,7 \cdot 10^{14} \text{ sec}^{-1}$ , auf numerischem Weg die Beiträge  $f_I = 0,23$ ;  $f_{II} = 0,61$ ;  $\nu_I = 3,90 \cdot 10^{14} \text{ sec}^{-1}$ ;  $\nu_{II} = 7,73 \cdot 10^{14} \text{ sec}^{-1}$ .

Für Zn-Tetraphenylporphin wurden mit dem Analogrechner die Werte  $f_I = 0,14$  und  $f_{II} = 2,69$ ;  $\nu_I = 4,6 \cdot 10^{14} \text{ sec}^{-1}$  und  $\nu_{II} = 8,3 \cdot 10^{14} \text{ sec}^{-1}$ , numerisch die Beiträge  $f_I = 0,14$ ;  $f_{II} = 2,66$ ;  $\nu_I = 4,63 \cdot 10^{14} \text{ sec}^{-1}$ ;  $\nu_{II} = 8,27 \cdot 10^{14} \text{ sec}^{-1}$  erhalten.

### b) Beispiel für zehn gekoppelte Oszillatoren

Es sei  $\alpha_k = 1,312 \cdot 10^5 \text{ g sec}^{-2}$  ( $k = 1$  bis 10);  $\alpha_{k,k+1} = -0,6048 \cdot 10^5 \text{ g sec}^{-2}$ ;  $\alpha_{k,l} > k+1 = 0$  ( $k = 1$  bis 9);  $e = 4,806 \cdot 10^{-10} \text{ g}^{1/2} \text{ cm}^{3/2} \text{ sec}^{-1}$ ;  $a_k = 0,8123$  ( $k = 1$  bis 10);  $\mu = 0,9107 \cdot 10^{-27} \text{ g}$ . Ferner sei  $q_k = 1,122 \cdot 10^{-13} \text{ g sec}^{-1}$ ;  $\sigma = 1,026 \cdot 10^{21} \text{ sec}^{-2}$ ;  $\tau = 2,303 \cdot 10^{13} \text{ Volt g Amp}^{-1} \text{ sec}^{-3}$  und  $\gamma = 1,50 \text{ g}^{1/2} \text{ cm}^{3/2} \text{ Volt Amp}^{-1} \text{ sec}^{-2}$ . Somit ergeben sich nach (22) bis (24), (32) und (33) für die Einstellgrößen die Werte  $K_k = 260,3 \text{ pF}$ ;  $R_k = 200 \text{ k}\Omega$ ;  $L_k = 24,00 \text{ m Hy}$  ( $k = 1$  bis 10);  $C_k = 2811 \text{ pF}$  ( $k = 1$  und 10);  $C_k = 185 \text{ pF}$  ( $k = 2$  bis 9);  $K_{k,k+1} = 2626 \text{ pF}$  ( $k = 1$  bis 9).

Durch Messung von  $W_e$  in Abhängigkeit von  $\omega_e$  ergibt sich wiederum nach (30) und (31) die in Abb. 5 dargestellte Abhängigkeit der Größe  $W/\mathfrak{E}_0^2$  von  $\nu$  (siehe S. 120).

Die Werte von  $\alpha_k$ ,  $\alpha_{k,k+1}$  und  $\alpha_k$  beziehen sich auf ein Beispiel, das von WERNER KUHN<sup>7</sup> betrachtet wurde, welcher zur Beschreibung der Lichtabsorption eines Polyens (in diesem Fall des Eikosadekaens) ein System gekoppelter klassischer Oszillatoren zugrunde legte, indem er jeder Doppelbindung einen Oszillator zuordnete. Nach WERNER KUHN ergeben sich die im folgenden in Klammern aufgeführten Werte für  $f_I$  bis  $f_V$  und  $\nu_I$  bis  $\nu_V$ , welche mit den entsprechenden nach Abb. 5 und Teil I, Gl. (47), sich ergebenden, nicht eingeklammerten Werten gut übereinstimmen:

	$p = I$	$p = II$	$p = III$	$p = IV$	$p = V$
$f_p$	2,00 (1,94)	0,25 (0,19)	0,05 (0,05)	0,02 (0,02)	0,00 (0,00)
$\nu_p$	0,65 (0,65)	1,2 (1,20)	1,8 (1,78)	2,2 (2,25)	2,5 (2,55)

$(\nu_p \text{ in } 10^{15} \text{ sec}^{-1})$

<sup>6</sup> H. KUHN u. W. HUBER, Helv. Chim. Acta **42**, 363 [1959].

<sup>7</sup> W. KUHN, Helv. Chim. Acta **31**, 2, 1780 [1948].

## A n h a n g

### I. Begründung der Gln. (3) und (4)

Wir betrachten zunächst Schaltung I. In einem willkürlich herausgegriffenen Zeitpunkt  $t_e$  (nach Anlegen der Spannung  $V = V_0 \sin \omega_e t_e$  zwischen A und B) herrschen folgende Spannungen gegen Erde: an A:  $+\frac{1}{2}V$ ; an B:  $-\frac{1}{2}V$ ; an  $P_1$ :  $+\frac{1}{2}U_1$ ; an  $Q_1$ :  $-\frac{1}{2}U_1$ ; an  $P_2$ :  $+\frac{1}{2}U_2$ ; an  $Q_2$ :  $-\frac{1}{2}U_2$ . Die Spannungen  $U_1$  und  $U_2$  sind i. allg. weder untereinander noch mit  $V$  in Phase, haben aber ebenfalls die Frequenz  $\omega_e$ .

Unter Anwendung des 1. KIRCHHOFFSchen Gesetzes und der für Kapazität  $C$ , Induktivität  $L$  und Widerstand  $R$  geltenden Beziehungen zwischen Spannung  $U$  und Strom  $I$

$$I = C \frac{dU}{dt_e}; \quad \frac{dI}{dt_e} = \frac{U}{L}; \quad I = \frac{U}{R}$$

erhält man für die Strombilanz in Punkt  $P_1$

$$I_{2K_1} = I_{L_1} + I_{R_1} + I_{C_1} + I_{2K_{12}}$$

$$\text{bzw. } \frac{d}{dt_e} I_{2K_1} = \frac{d}{dt_e} I_{L_1} + \frac{d}{dt_e} I_{R_1} + \frac{d}{dt_e} I_{C_1} + \frac{d}{dt_e} I_{2K_{12}}.$$

Der Index an  $I$  gibt das Schaltelement an, durch das

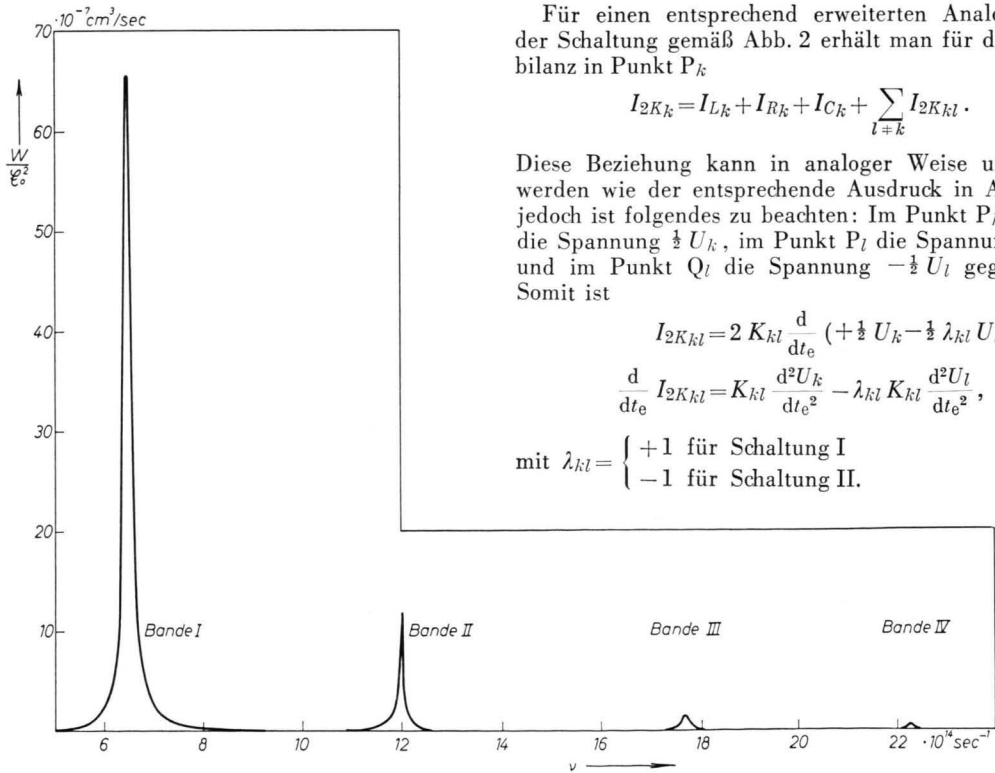


Abb. 5. Zehn gekoppelte Oszillatoren. Ordinate  $W/\mathfrak{E}_0^2$ ; Abszisse  $\nu$ .

der betrachtete Strom fließt. Somit ist

$$2K_1 \frac{d^2}{dt_e^2} (\frac{1}{2}V - \frac{1}{2}U_1) = \frac{1}{L_1} (\frac{1}{2}U_1 - (-\frac{1}{2}U_1)) \\ + \frac{1}{R_1} \frac{d}{dt_e} (\frac{1}{2}U_1 - (-\frac{1}{2}U_1)) + C_1 \frac{d^2}{dt_e^2} (\frac{1}{2}U_1 - (-\frac{1}{2}U_1)) \\ + 2K_{12} \frac{d^2}{dt_e^2} (\frac{1}{2}U_1 - \frac{1}{2}U_2).$$

Nach Umordnen und Einsetzen der Beziehung  $V = V_0 \sin \omega_e t_e$  ergibt sich Gl. (3). Die analogen Betrachtungen für die Strombilanz im Punkt  $P_2$  führen zu der Beziehung (4).

Im Falle der Schaltung II fließt durch den Kondensator  $2K_{12}$  der Strom

$$I_{2K_{12}} = 2K_{12} \frac{d}{dt_e} (\frac{1}{2}U_1 - (-\frac{1}{2}U_2)).$$

Dadurch kehrt sich das Vorzeichen vor  $K_{12}(d^2U_2/dt_e^2)$  in (3) bzw. vor  $K_{12}(d^2U_1/dt_e^2)$  in (4) um.

### II. System von $n$ gekoppelten Oszillatoren

Im mechanischen Fall gilt in Erweiterung der Gln. (1) und (2)

$$\mu_k \frac{d^2 \xi_k}{dt^2} + \varrho_k \frac{d\xi_k}{dt} + \varkappa_k \xi_k + \sum_{l \neq k} \varkappa_{kl} \xi_l = \mathfrak{E}_0 e \alpha_k \sin \omega t, \quad (34)$$

wo  $k = 1, \dots, n$ ;  $\varkappa_{kl} = \varkappa_{lk}$ .

Für einen entsprechend erweiterten Analogrechner der Schaltung gemäß Abb. 2 erhält man für die Strombilanz in Punkt  $P_k$

$$I_{2K_k} = I_{L_k} + I_{R_k} + I_{C_k} + \sum_{l \neq k} I_{2K_{kl}}.$$

Diese Beziehung kann in analoger Weise umgeformt werden wie der entsprechende Ausdruck in Anhang I, jedoch ist folgendes zu beachten: Im Punkt  $P_k$  herrscht die Spannung  $\frac{1}{2}U_k$ , im Punkt  $P_l$  die Spannung  $+\frac{1}{2}U_l$  und im Punkt  $Q_l$  die Spannung  $-\frac{1}{2}U_l$  gegen Erde. Somit ist

$$I_{2K_{kl}} = 2K_{kl} \frac{d}{dt_e} (+\frac{1}{2}U_k - \frac{1}{2}\lambda_{kl} U_l), \\ \frac{d}{dt_e} I_{2K_{kl}} = K_{kl} \frac{d^2 U_k}{dt_e^2} - \lambda_{kl} K_{kl} \frac{d^2 U_l}{dt_e^2}, \\ \text{mit } \lambda_{kl} = \begin{cases} +1 & \text{für Schaltung I} \\ -1 & \text{für Schaltung II.} \end{cases}$$

An Stelle der Gl. (3) bzw. (4) ergibt sich dann

$$\left( C_k + K_k + \sum_{l \neq k} K_{kl} \right) \frac{d^2 U_k}{dt_e^2} + \frac{1}{R_k} \frac{d U_k}{dt_e} + \frac{1}{L_k} U_k - \sum_{l \neq k} \left( \lambda_{kl} K_{kl} \frac{d^2 U_l}{dt_e^2} \right) = -\omega_e^2 K_k V_0 \sin \omega_e t_e, \quad (35)$$

wo  $k=1, \dots, n$ ;  $K_{kl}=K_{lk}$ , oder umgeformt

$$-\frac{1}{\omega_e^4 L_k} \frac{d^2 U_k}{dt_e^2} + \frac{1}{\omega_e^2 R_k} \frac{d U_k}{dt_e} - \left( C_k + K_k + \sum_{l \neq k} K_{kl} \right) U_k + \sum_{l \neq k} (\lambda_{kl} K_{kl} U_l) = -K_k V_0 \sin \omega_e t_e. \quad (36)$$

Wird analog zu (7)  $U_k = -\tau \xi_k$  gesetzt, so folgt mit (9) und (10)

$$\frac{1}{\omega_e^4 L_k} \frac{\tau}{\beta^2} \frac{d^2 \xi_k}{dt^2} + \frac{1}{\omega_e^2 R_k} \frac{\tau}{\beta} \frac{d \xi_k}{dt} + \left( C_k + K_k + \sum_{l \neq k} K_{kl} \right) \tau \xi_k + \sum_{l \neq k} (-\lambda_{kl} K_{kl} \tau \xi_l) = K_k \gamma \mathfrak{E}_0 \sin (\omega_e \beta t). \quad (37)$$

Diese Gleichung geht in Gl. (34) über, falls man auch hier nach (18)  $\omega_e \beta = \omega$  und nach (18) und (19)  $\omega_e^2 \beta = \sigma$  setzt,  $L_k$  durch (22),  $R_k$  durch (23) und  $K_k$  durch (24) ersetzt und ferner  $C_k$  durch (33) und  $K_{kl}$  gemäß (32) durch die Beziehung  $K_{kl} = -(1/[\tau \lambda_{kl}]) \alpha_{kl}$  festlegt.

Da es nur positive Kapazitäten gibt,  $\alpha_{kl}$  aber positiv oder negativ sein kann, ergibt sich für die  $\lambda_{kl}$  und damit für die anzuwendende Schaltung aus  $\alpha_{kl} = -\lambda_{kl} \tau K_{kl}$  die Vorschrift:  $\lambda_{kl} = +1$  (Schaltung I), falls  $\alpha_{kl}$  negativ;  $\lambda_{kl} = -1$  (Schaltung II), falls  $\alpha_{kl}$  positiv.

## Die Walshsche Regel im Rahmen der MO-LCAO-Näherung II (AH<sub>3</sub>-Moleküle)

Von H.-H. SCHMIDTKE

Cyanamid European Research Institute, Cologny, Genf, Schweiz  
(Z. Naturforschg. 17 a, 121–129 [1962]; eingegangen am 9. Dezember 1961)

In order to find an explanation for the WALSH rules on a more theoretical basis the molecules of type AH<sub>3</sub> were treated for atoms A of the first period by a simple MO-LCAO method with SLATER-Functions. The dependence of the one-electron energies on the valence angle was found more similar to that obtained by accurate SCF-LCAO calculations than to the WALSH energy curves. But the WALSH rules were generally reproduced very well, except perhaps for the 7 electron case, where in agreement with experiment a more planar structure is preferred. The results are presented as tables and graphs.

Die erste Arbeit in dieser Reihe<sup>1</sup> kam zu dem Resultat, daß ein einfacher, dort beschriebener Ansatz der Methode der Molekülzustände (MO-LCAO-Methode) mit SLATER-Funktionen als Basis eine Diskussion der Molekülstruktur ermöglicht. In qualitativer Weise hat vor allem WALSH<sup>2</sup> die Frage nach den Valenzwinkeln in einer Reihe einfacher Verbindungen theoretisch untersucht und ist, ausgehend von drei Grundpostulaten, zu dem Ergebnis gekommen, daß die Molekülstruktur einer Verbindungs-klasse in besonderer Weise von der Anzahl der Valenzelektronen abhängt. Dies wird in den sogenannten WALSHschen Regeln (WALSH magic formulas) ausgedrückt. Die Existenz solcher Zahlen, die in Zusammenhang mit der Struktur der Verbindungen

stehen, erinnert an die klassischen Regeln von HUME-ROTHERY<sup>3</sup> über die Kristallstruktur intermetallischer Phasen. Obwohl sich nach neueren spektroskopischen Daten in manchen Fällen Abweichungen von den WALSHschen Vorhersagen ergeben, stimmen seine Regeln in der überwiegenden Zahl mit den experimentellen Befunden überein. Solche Unstimmigkeiten treten jedoch nur bei den Grenzfällen auf, wo die Regel von einer bestimmten Valenzelektronenzahl ab den Übergang von einem gestreckten zu einem gewinkelten Molekül verlangt.

Im Glauben, daß die in den WALSHschen Regeln gemachten Aussagen von grundlegender Natur sind, sollten diese Zusammenhänge auch im Rahmen einfacher theoretischer Ansätze erfaßt und ohne allzu

<sup>1</sup> H.-H. SCHMIDTKE u. H. PREUSS, Z. Naturforschg. 16a, 790 [1961]; im folgenden mit I bezeichnet.

<sup>2</sup> A. D. WALSH, J. Chem. Soc. 1953, 2260 ff.

<sup>3</sup> Vgl. W. HUME-ROTHERY, The Structure of Metals and Alloys, Institute of Metals, London 1936.